



بیست و یکمین کنفرانس اپتیک و فوتونیک ایران  
و هفتمین کنفرانس مهندسی و فناوری فوتونیک ایران  
۲۳ تا ۲۵ دی ماه ۱۳۹۳، دانشگاه شهید بهشتی



## تحلیل اعتبار لینک مخابرات لیزری باریکه واگرا آستیگمات سرصاف همدوس جزئی دایره‌ای

بهنام شریعتی بین‌کلایی، سیده سروناز خاتمی، احمد مشعل و فاطمه دباغ کاشانی

آزمایشگاه فوتونیک، دانشکده فیزیک، دانشگاه علم و صنعت ایران، تهران، ایران

چکیده - در این مقاله انتشار یک باریکه سرصاف دایره‌ای واگراشونده همدوس جزئی دارای ابیراهی آستیگماتیسم در اتمسفر متلاطم مورد بررسی قرار گرفته است. بر اساس روش انتگرال تعمیم‌یافته هویگنس-فرنل، روابط تحلیلی میانگین شدت استخراج شده و پس از محاسبه عددی توان دریافتی، تأثیرات فاکتورهای منبع و محیط - از جمله طول موج، درجه سرصافی، واگرایی اولیه باریکه و عمق دید - بر روی پارامترهای مخابراتی از قبیل نسبت سیگنال به نویز، نرخ خطای بیت و همچنین توان در سطح مشخصه مورد مطالعه قرار گرفته است. نتایج بدست آمده به صورت نمودارهای حاصل از محاسبات ارائه شده است.

کلید واژه - اتمسفر متلاطم، آستیگماتیسم، انتشار باریکه سرصاف دایره‌ای، انتگرال تعمیم یافته هویگنس-فرنل، پارامترهای مخابراتی

## Reliability Analysis of Optical Communication Links Based on Propagation of Divergent Astigmatic Circular Partially Coherent Flat-Topped Laser beam

B. Shariati, S. S. Khatami, A. Mashal and F. D. kashani

Photonic Lab, School of Physics, Iran University of Science and Technology, Tehran, Iran

Abstract- In this paper, the propagation of a divergent circular Partially Coherent Flat-Topped (PCFT) beam with astigmatism aberration in a turbulent atmosphere is investigated. Based on the extended Huygens-Fresnel integral method, analytical formula for the average intensity is derived. Power is calculated numerically and the effects of some source and environmental factors- such as wavelength, degree of flatness, divergence angle and visibility on communication parameters, Signal to Noise Ratio (SNR), Bit-Error Rate (BER) and Power In Bucket (PIB), are studied. The calculated results are shown graphically.

Keywords: atmospheric turbulence, propagation of a circular PCFT beam, astigmatism aberration, extended Huygens-Fresnel method, communication link parameters

## ۱- مقدمه

که در آن  $w_0$  اندازه کمره باریکه گوسی،  $N$  درجه سر- صافی،  $A_0$  بیشینه دامنه میدان گوسی (دامنه میدان بر روی نقطه محوری در  $\vec{r} = 0$ ) و  $z'$  فاصله کمره تا دهانه فرستنده و  $\xi(z')$  فاز طولی باریکه هستند. با توجه به اینکه درجه همدوسی فضایی باریکه صرفاً همدوس جزئی به صورت تابع گوسی در نظر گرفته شده و در نتیجه فقط به فاصله دو نقطه  $\vec{r}'_1$  و  $\vec{r}'_2$  در صفحه منبع وابسته است، می توان این کمیت را به صورت زیر بیان کرد [۶]:

$$g(|\vec{r}'_1 - \vec{r}'_2|) = \sum_{c=1}^N \frac{1}{N} \exp\left(-c \frac{(\vec{r}'_1 - \vec{r}'_2)^2}{\sigma_0^2}\right) \quad (2)$$

که  $\sigma_0$  طول همبستگی منبع می باشد. مطالعه انتشار باریکه های لیزری با استفاده از تابع چگالی طیفی متقابل، رابطه (۳)، صورت می پذیرد [۶]:

$$\Gamma(\vec{r}'_1, \vec{r}'_2, z) = \left\langle U(\vec{r}'_1, z) U^*(\vec{r}'_2, z) g(|\vec{r}'_1 - \vec{r}'_2|) \right\rangle \quad (3)$$

با استفاده از انتگرال تعمیم یافته هویگنس- فرنل، رابطه (۴)، تابع چگالی طیفی متقابل پس از انتشار به طول  $z$  محاسبه می شود [۶]:

$$\Gamma(\vec{r}_1, \vec{r}_2, z) = \left( \frac{k}{2\pi z} \right)^2 \iiint d^2 r'_1 d^2 r'_2 \Gamma(\vec{r}'_1, \vec{r}'_2, 0) \times \exp\left(\frac{ik}{2z} (\vec{r}_1^2 - 2\vec{r}'_1 \cdot \vec{r}_1 + \vec{r}_1^2) - \frac{ik}{2z} (\vec{r}_2^2 - 2\vec{r}'_2 \cdot \vec{r}_2 + \vec{r}_2^2)\right) \times \left\langle \exp(\psi(\vec{r}_1, \vec{r}'_1, z) + \psi^*(\vec{r}_2, \vec{r}'_2, z)) \right\rangle_{at} \times \exp(ikc_a(x_1^2 - y_1^2) - ikc_a(x_2^2 - y_2^2)) \quad (4)$$

که در آن  $c_a$  ضریب آستیگماتیسم و  $\psi$  بخش تصادفی فاز مختلط یک موج کروی منتشر شده در محیط متلاطم از نقطه  $(\vec{r}', 0)$  به نقطه  $(\vec{r}, z)$  بوده و تحت تأثیر پارامترهای محیطی است.  $\langle \rangle_{at}$  نشان دهنده میانگین آنسامبل اتمسفر متلاطم است که به صورت زیر تعریف می شود [۶]:

$$\left\langle \exp(\psi(\vec{r}_1, \vec{r}'_1, z) + \psi^*(\vec{r}_2, \vec{r}'_2, z)) \right\rangle_{at} = \exp(-M \left[ (\vec{r}_1 - \vec{r}_2)^2 + (\vec{r}_1 - \vec{r}_2) \cdot (\vec{r}'_1 - \vec{r}'_2) + (\vec{r}'_1 - \vec{r}'_2)^2 \right]) \quad (5)$$

$$M = 0.49(C_n^2)^{6/5} k_0^{12/5} z^{6/5}$$

در سال های اخیر، مطالعه انتشار باریکه های لیزری در اتمسفر متلاطم، بدلیل کاربردهای عملی آن در مخابرات لیزری فضای آزاد، لادار، سنجش از دور و... بسیار مورد توجه قرار گرفته است [۱]. پدیده های اتمسفری از قبیل جذب، پراکندگی و تلاطم می توانند باعث ایجاد اختلالات قابل ملاحظه ای در عملکرد سیستم های مخابراتی شوند. از این رو به منظور بهینه سازی این شرایط، مطالعات تجربی و تئوری فراوانی بر روی تأثیرات پدیده های اتمسفری بر سطح مقطع های مختلف باریکه لیزری و پارامترهای مخابراتی صورت پذیرفته است [۲]. مطالعات انجام شده نشان می دهند که اثرپذیری باریکه های لیزری همدوس جزئی تحت شرایط اتمسفری کمتر از باریکه های لیزری با همدوسی کامل می باشد [۳]. همچنین اثرپذیری کمتر باریکه های لیزری سرصاف نسبت به باریکه های با سطح مقطع های دیگر، این نوع از باریکه ها را مورد توجه محققین زیادی قرار داده است [۴، ۵]. در اغلب مطالعات، باریکه ها بدون هر گونه ابیراهی در طول مسیر انتشار در نظر گرفته شده اند، در حالی که در عمل بسیاری از باریکه ها دارای ابیراهی های گوناگون می باشند. در این مطالعه، محیط انتشار، اتمسفر متلاطم و باریکه لیزری دارای ابیراهی آستیگماتیسم در نظر گرفته شده است. پس از محاسبه تابع چگالی طیفی متقابل، روابط تحلیلی میانگین شدت بدست آمده و با محاسبه پارامترهای مخابراتی، اثر تغییر برخی از پارامترهای منبع و فاکتورهای محیطی بر اعتبار و پایداری لینک بررسی شده است.

## ۲- مبانی نظری

میدان الکتریکی یک باریکه سر صاف واگرا شونده با تقارن دایره ای در صفحه  $z=0$  را می توان به صورت جمع محدودی از باریکه های گوسی در مختصات متعامد بیان کرد [۶، ۷]:

$$U_0(\vec{r}'_1, 0) = \sum_{n=1}^N \frac{A_0}{N} \binom{N}{n} (-1)^{n-1} \exp\left(\frac{-nr_1'^2}{w_0^2}\right) \times \exp(-jkz' - \frac{jk r_1'^2}{2R(z')} - j\xi(z')) \quad (1)$$

$$SNR = \frac{P_R}{P_n} \quad (۹)$$

که در آن،  $P_R$  توان دریافتی توسط آشکارساز با احتساب تأثیر جذب، پراکندگی و تلاطم و  $P_n$  توان معادل نویز در آشکارساز هستند. نرخ خطای بیت یکی دیگر از پارامترهای تعیین کننده کیفیت لینک است که نشان-دهنده نسبت تعداد بیت‌های خطا به کل بیت‌های ارسالی است. در مدولاسیون  $OOK$  رابطه زیر بین نرخ خطای بیت ( $BER$ ) و نسبت سیگنال به نویز ( $SNR$ ) برقرار است [۸]:

$$BER = \frac{1}{2} \operatorname{erfc} \left( \frac{1}{\sqrt{2}} \sqrt{SNR} \right) \quad (۱۰)$$

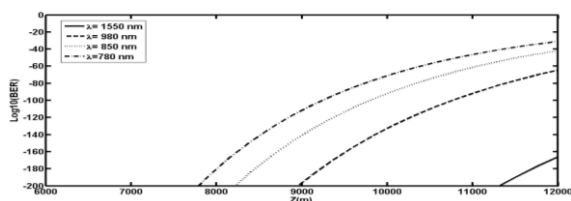
روابط (۸)، (۹) و (۱۰) اساس محاسبات بخش بعد هستند.

### ۳- محاسبه و شبیه‌سازی

در این بخش، در ابتدا با جایگذاری پارامترهای مرتبط با انتشار باریکه سرفاص همدوس جزئی، تأثیر طول موج بر پارامتر  $BER$  بررسی می‌شود. به غیر از موارد ذکر شده، مقادیر زیر برای پارامترهای مرتبط با منبع فرستنده و تلاطم انتخاب شده‌اند:

$$C_n^2 = 10^{-14} m^{-2/3}, V = 10 km, C_a = 10^{-3} m^{-1}, \\ \theta = 1.5 \times 10^{-3} rad, \sigma_0 = 10^{-3} m, N = 4.$$

شکل (۱) مقادیر نرخ خطای بیت را بر حسب فاصله انتشاری برای چهار طول موج مختلف نشان می‌دهد.



شکل ۱: تغییرات نرخ خطای بیت بر حسب فاصله انتشاری در چهار طول موج مختلف

همانگونه که در شکل (۱) مشاهده می‌شود، با افزایش طول موج، نرخ خطای بیت کاهش می‌یابد. در هر چهار طول موج طبق انتظار مقدار نرخ خطای بیت با افزایش برد لینک افزایش می‌یابد. بر اساس نتایج حاصله و با توجه به تأثیرپذیری کمتر طول موج  $1550 nm$ ، در بررسی‌های آتی از منبعی با طول موج  $1550 nm$  استفاده می‌شود. در شکل (۲) نسبت سیگنال به نویز بر حسب برد لینک برای

پس از انتگرال‌گیری و بدست آوردن رابطه تابع چگالی طیفی متقابل، با مساوی قرار دادن  $\bar{r}_1$  و  $\bar{r}_2$ ، رابطه تحلیلی شدت به صورت زیر بدست می‌آید:

$$I(r, z) = \frac{k^2}{z^2} \sum_{n=1}^N \sum_{m=1}^N \sum_{c=1}^N \frac{A_0 A_0^*}{N^3} \binom{N}{n} \binom{N}{m} (-1)^{n+m} \times \\ \exp(-\beta_1 x^2 - \beta_2 y^2) / \sqrt{(4\alpha_1 \alpha_3 - \alpha_7^2)(4\alpha_2 \alpha_4 - \alpha_7^2)} \\ \beta_{1,2} = \frac{k^2}{z^2} \frac{(n+m)}{w_0^2} \frac{1}{(4\alpha_{1,2} \alpha_{3,4} - \alpha_7^2)} \\ \alpha_{2,1} = \frac{n}{w_0^2} + \frac{ik}{2R(z)} + \frac{c}{\sigma_0^2} - \frac{ik}{2z} + M \pm ikc_a \\ \alpha_{3,4} = \frac{n}{w_0^2} - \frac{ik}{2R(z')} + \frac{c}{\sigma_0^2} + \frac{ik}{2z} + M \pm ikc_a \\ \alpha_7 = 2M + \frac{2c}{\sigma_0^2} \quad (۶)$$

با استفاده از رابطه تحلیلی توزیع شدت، توان فرودی در سطح مشخصه‌ای به شعاع  $a$  طبق رابطه (۷) به صورت عددی محاسبه می‌گردد:

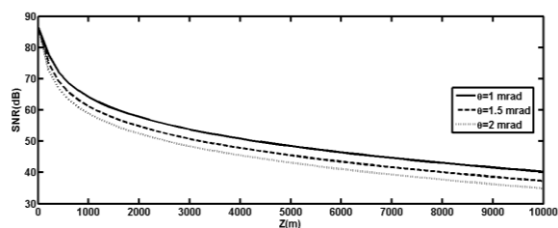
$$P_{OR} = \int_0^a \int_0^{2\pi} I(r, z) r dr d\phi \quad (۷)$$

یکی از پارامترهای مخابراتی که نشان‌دهنده تمرکز توان در سطح مشخصه است، پارامتر  $PIB$  می‌باشد که طبق رابطه زیر بدست می‌آید [۸]:

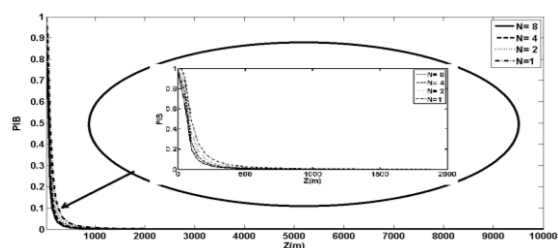
$$PIB = \frac{\int_0^a \int_0^{2\pi} I(r, z) r dr d\phi}{\int_0^\infty \int_0^{2\pi} I(r, z) r dr d\phi} \quad (۸)$$

همانگونه که ذکر شد، صورت کسر فوق، توان دریافتی توسط آشکارساز بدون در نظر گرفتن جذب و پراکندگی (فقط با در نظر گرفتن تأثیرات تلاطم) را نشان می‌دهد. توان دریافتی در آشکارساز با احتساب جذب و پراکندگی با استفاده از رابطه  $P_R = T_{A-S} T_{Opt} P_{OR}$ ، محاسبه می‌شود. تأثیرات قطعات اپتیکی و خطای نشانه‌گیری و کوپل‌شدگی در اپتیک فرستنده و گیرنده به صورت کاهش سطح توان با ضریب  $T_{Opt} \approx 0.8$  در نظر گرفته شده‌است.  $T_{A-S}$  عبوردهی اتمسفر ناشی از جذب و پراکندگی است که با استفاده از رابطه بی-یر-لامبرت [۹] بر حسب عمق دید محاسبه می‌شود. نسبت سیگنال به نویز یکی از پارامترهای تعیین کننده اعتبار لینک مخابراتی است که طبق رابطه (۹) بدست می‌آید [۸]:

سه واگرایی مختلف خروجی موازی‌ساز فرستنده نشان داده شده‌است.

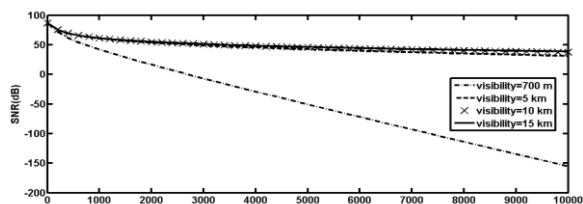


شکل ۲: تغییرات نسبت سیگنال به نویز بر حسب طول مسیر انتشار در سه زاویه واگرایی اولیه مختلف طبق شکل، نسبت سیگنال به نویز با افزایش واگرایی کاهش می‌یابد. وابستگی پارامتر  $PIB$  در طول مسیر انتشاری به درجه سرفافی در شکل (۳) نشان داده شده است. ملاحظه می‌شود که با افزایش درجه سرفافی،  $PIB$  کاهش می‌یابد.



شکل ۳: تغییرات  $PIB$  بر حسب طول مسیر انتشاری برای باریکه‌هایی با درجات سرفافی مختلف

در شکل (۴) تأثیر تغییرات پارامتر محیطی عمق دید، که ناشی از جذب و پراکندگی حاصل از حضور ذرات و گرد و غبار در محیط انتشاری می‌باشد، بر پارامترهای مخابراتی بررسی شده و رفتار انتشاری نسبت سیگنال به نویز در محیطی متلاطم با عمق دیدهای متفاوت رسم شده‌است.



شکل ۴: تغییرات نسبت سیگنال به نویز بر حسب طول مسیر انتشار در محیط‌هایی با عمق دید مختلف

با توجه به شکل (۴)، با کاهش عمق دید، نسبت سیگنال به نویز کاهش می‌یابد. صفر شدن نسبت سیگنال به نویز در فاصله کمتر از ۳ کیلومتر برای محیط با عمق دید ۰/۷ کیلومتر دلالت بر کاهش برد مؤثر در شرایط محیطی با

عمق دید کمتر از ۱۰ کیلومتر دارد. در شرایط مورد بررسی در مقاله حاضر، لینک‌های مخابراتی در شرایط عمق دید بزرگتر از ۱۰ کیلومتر (به طور مثال، عمق دید ۱۰ و ۱۵ کیلومتر) رفتاری مشابه دارند.

#### ۴- نتیجه‌گیری

در مقاله حاضر انتشار باریکه سرفاف همدوس جزئی دارای ابیراهی آستیگماتیسم در اتمسفر متلاطم، در رژیم تلاطمی قوی، بررسی شده و نتایج حاصل شده به شرح زیر بیان می‌گردد: ۱- با افزایش طول موج باریکه لیزری، در یک فاصله ثابت، نرخ خطای بیت کاهش می‌یابد، ۲- افزایش واگرایی باریکه لیزری خروجی از موازی‌ساز موجب کاهش مقدار نسبت سیگنال به نویز لینک مخابراتی می‌شود. ۳- افزایش درجه سرفافی باریکه لیزری به کاهش مقدار پارامتر  $PIB$  منجر می‌شود. ۴- کاهش مقدار عمق دید در اتمسفر متلاطم به کاهش مقدار نسبت سیگنال به نویز می‌انجامد که البته این کاهش بین عمق دیدهای بزرگتر بسیار ناچیز است. از نتایج این مطالعه می‌توان در اکثر کاربردهای وابسته به انتشار باریکه لیزری در اتمسفر متلاطم مانند مخابرات لیزری، تصویر برداری و... استفاده کرد.

#### مراجع

- [1] Cai Y., He S., *Propagation of Various Flat-Topped Beams in a Turbulent Atmosphere*, **J. Opt. A: Pure Appl. Opt** 8 (2006) 537-545.
- [2] Eyyuboglu H. T., Baykal Y., *Reciprocity of Cos-Gaussian and Cosh-Gaussian Laser Beams in Turbulent Atmosphere*, **Opt. Express** 12 (2004) 4659-4674.
- [3] Wang S. C. H., Plonus M. A., *Optical Beam Propagation or a Partially Coherent Source in a Turbulent Atmosphere*, **J. Opt. soc. Am** 69 (1979) 1297-1304.
- [4] Kashani F. D., Alavinejad M., Ghafary B., *Propagation Properties of a Non-Circular Partially Coherent Flat-Topped Beam in a Turbulent Atmosphere*, **Optics and Laser Tech.** 41 (2009) 659-664.
- [5] Alavinejad M., Ghafary B., Kashani F. D., *Analysis of the Propagation of Flat-Topped Beam with Various Beam Orders Through Turbulent Atmosphere*, **Optics and Lasers in Eng.** 46 (2008) 1-5.
- [6] Kashani F. D., Ghafary B., *Propagation Characteristics of Aberrated Partially Coherent Flat-topped Beam in Turbulent Atmosphere*, **Proceedings of The 2008 IAIC-IJME International Conference**, pp. 56, 2008.
- [7] Saleh LB. E. A., Teich M. C., *Fundamental of photonics*, second edition, p.75-86, Wiley series in pure and applied, 2007.
- [8] Kashani F. D., Golmohammady Sh., *Reliability analysis of the flat-topped multi-beam FSO communication link*, **Sixth International Symposium on Telecommunications (IST)**, pp. 500-505, 2012.
- [9] Bouchet O., Sizin H., Boirobert C., de Fornel F. and Favenc P.-N., *Free-Space optics propagation and communication*, p. 101-103, ISTE, London, UK, 2006.